

I-340 はり一柱の抵抗強度の評価と信頼性

○中部工大 正員 塩見弘幸
大同工大 教員 寺口寿男

(1) まえがき 本報告は、SGST Format¹⁾に基づいて、はり一柱の抵抗係数を試算し、抵抗強度について述べたものである。SGST Formatでは、抵抗強度における抵抗係数を次のように定めている。

$$\phi = \phi_1 X \psi \quad \cdots \cdots (1)$$

ここに、 ϕ_1 は較正係数、 X は下界係数($1 - k_R \cdot V_R$)、 ψ は設計式の信頼係数($M_m \cdot F_m \cdot P_m$)である。式(1)を用いて等断面および変断面はり一柱の抵抗係数の試算を次の3ケースについて行う。

- a) 軸力と断面の強軸まわりの曲げが作用する場合の面内耐荷力
- b) 軸力と断面の弱軸まわりの曲げが作用する場合の面外耐荷力
- c) 軸力と2軸曲げが作用する場合の耐荷力

ただし、変断面はり一柱においては、a)とb)の2ケースに限る。公称抵抗強度 R_n は、道路橋示方書に採用されている基本耐荷力式を用いる。

(2) 実験データと公称抵抗強度 等断面はり一柱の抵抗係数の試算のための利用実験データは、参考文献2)～7)であり、断面はI形とH形に限る。鋼種は、ケースc)中の乙体を除きF-41相当材である。変断面はり一柱については、参考文献8), 9)の実験データを利用する。a)は箱形断面で、ウェブとフランジの両方にテーパーがついているものである。b)のウェブのみにテーパーをつけたH形断面は、水平に対し仰角をもつ片持ばかりで、自由端では断面に対し単純支持されている。自由端に鉛直荷重を載荷することにより、はりに軸力と曲げモーメントを与えている。これらの実験データと比較するはり一柱の基本耐荷力として道路橋示方書に採用されている式を用いる。

$$\frac{P}{R_n} + \frac{M_{x0}}{M_{ux}(1-P_{p_{ex}})} + \frac{M_{yo}}{M_{uy}(1-P_{p_{ey}})} = 1 \quad \cdots \cdots (2)$$

ここに、 P 、 M_{x0} 、 M_{yo} ；それぞれははり一柱の軸荷重と強軸および弱軸まわりの曲げ作用モーメント、 P_u ； $M_{x0} = M_{yo} = 0$ のときの柱の最大強度、 M_{ux} ； $P = M_{yo} = 0$ のときのはりの降伏モーメント(面内)、または横倒れ耐荷モーメント(面外)、 M_{uy} ； $P = M_{x0} = 0$ のときの降伏モーメント、 $P_{p_{ex}}$ 、 $P_{p_{ey}}$ ；それぞれ強軸、弱軸に関するEuler弾性座屈強度である。ケースa), b)に対する基本耐荷力式は、式(2)の左辺の第1項と第2項のみをそれぞれ考慮すれば良い。

式(2)の相関式は、この形のままでは公称抵抗強度として用いることができない。そこで次のように仮定する。はり一柱が荷重を受けて最終強度に至るまで、作用荷重 P と作用モーメント M_{x0} 、 M_{yo} との関係が $M_{x0} = e_y \cdot P$ 、 $M_{yo} = e_x \cdot P$ (e_x 、 e_y は図1に示す軸荷重作用点との偏心距離)で与えられる。すると、はり一柱に対しても柱の場合と同じ形の基本耐荷力式が得られる。ケースa)とb)の場合は、 P に関する2次方程式、ケースc)の場合は、 P に関する3次方程式の正の最小根からそれぞれ求められる。したがって、式(1)における信頼係数 ψ は柱の場合と同様に次のように表わされる。

Table 1 (等断面はり一柱)

R_n	Eq(2)			
Case	a)	b)	c)	
Number of Samples	10	77	83	
P_m	1.107	1.230	1.250	
V_p	0.111	0.174	0.120	
V_R	0.164	0.212	0.170	
ψ	1.273	1.414	1.438	
X	$k_R = 1.65$ = 2.0	0.729 0.672	0.651 0.577	0.719 0.660
ϕ	$k_R = 1.65$ = 2.0	0.928 0.855	0.921 0.816	1.034 0.949
ϕ	$k_R = 1.65$ = 2.0	0.92	0.82	1.03 0.95

Table 2 (変断面はり一柱)

R_n	Eq(2)					
Case	a) N = 24			b) N = 7		
Equivalent Section	1/21	1/31	1/51	1/21	1/31	1/51
P_m	1.116	1.449	1.865	1.223	1.446	1.694
V_p	0.078	0.062	0.06	0.069	0.099	0.132
V_R	0.143	0.146	0.161	0.139	0.156	0.179
ψ	1.283	1.667	2.145	1.406	1.663	1.948
X	$k_R = 1.65$ = 2.0	0.763 0.714	0.759 0.708	0.735 0.679	0.770 0.722	0.742 0.688
ϕ	$k_R = 1.65$ = 2.0	0.980 0.914	1.265 1.180	1.576 1.455	1.082 1.015	1.234 1.143

$$\psi = \frac{(O_y)_m}{F_y} \cdot \frac{A_m}{A_n} \cdot \frac{(P_u/P_y)_m}{(P_u/P_y)_n} \quad \dots \dots \dots (3)$$

ここに, O_y ; 実測降伏応力, F_y ; 公称降伏応力, A ; 断面積, 下付添字 m は実測値の平均値を表わし, n は公称値を表わす。このように考えると例えばケース a), b)に対する公称抵抗強度 R_n は次のようく表わされる。

$$R_n = \frac{1}{2} \left[\frac{P_u}{P_y} + \frac{P_{ex}}{P_y} + \frac{P_u}{P_y} \cdot \frac{P_{ex}}{P_y} \cdot \frac{O_y \cdot P_y}{M_{ux}} - \sqrt{\left(\frac{P_u}{P_y} + \frac{P_{ex}}{P_y} + \frac{P_u}{P_y} \cdot \frac{P_{ex}}{P_y} \cdot \frac{O_y \cdot P_y}{M_{ux}} \right)^2 - 4 \frac{P_u}{P_y} \cdot \frac{P_{ex}}{P_y}} \right] \quad \dots \dots \dots (4)$$

変断面はリ一柱の基本耐荷力式も式(2)を用いる。この場合、変断面の内からいくつかの断面を選び、どの断面を用いた等断面のはり一柱として検討する。

(3) 抵抗係数の試算結果 式(1)において較正係数 $\phi_1 = 1$ とする。設計係数の平均値 P_m と変動係数 V_P は、各実験データと式(4)に示したような P に関する方程式の根から得られる公称抵抗強度との比より求めめる。Table-1 に等断面の場合の ϕ の試算結果を示す。ここには a) と b) の重みつき平均値も示してある。ケース c) の ϕ 値は a), b) より若干大きい。Table-2 に変断面の場合を示す。これから、変断面に向しても左の点における断面と等価な等断面にした場合、 ϕ 値はケース a) に比べてケース b) の方が大きい。これは主として、変断面の場合の限界されたデータに影響されていると思われる。次に、等断面の場合のケース a), b) と変断面の場合のケース c) を対象に、基本耐荷力と実験値とを縦軸に P/P_u 、横軸に $M_{xo}/M_{ux}(1-P_{ex})$ をとて表示したものを Fig.-1 と Fig.-2 にそれぞれ示す。抵抗強度 R_n は、図中では点線で示される。はり一柱の抵抗係数 ϕ が決まれば、抵抗強度は次のようく与えられる

$$\frac{P}{P_u} + \frac{M_{xo}}{M_{ux}(1-P_{ex})} + \frac{M_{yo}}{M_{uy}(1-P_{ex})} \leq \phi \quad \dots \dots \dots (5)$$

参考文献

- 1) 福本勝士ほか 構造物の抵抗強度評価に関するSAST Forumの提案と由来部材への適用, 土木学会第3回構造論文報告会(要旨) 1980 2) Klöpel, K. et al.; Experimentelle und Theoretische Untersuchungen über die Traglast von Zweiachsig Aussermittig Gedruckten Stahlstäben, Der Stahlbau, Vol. 31, No. 2, Feb. March, April, 1962 3) Brinstor, C.; Experiments on H-COLUMNS Under Biaxial Bending, Proc. of ASCE, Vol. 94, St 10, Oct. 1968 4) Johnston, B. G. and L. Cheney; Steel Columns of Rolled Wide Flange Section, AISC Progress Report No. 2, 1942 5) Campus, F. and Massonet, C.; Recherches sur le Flambeau de Colonnes en Acier A-37, A profil en Double T, Sollicitée Obligueusement, IRSIA Bulletin, No. 17, 1956 6) Second Progress Report of Special Committee on Steel Columns, ASCE, Trans., Vol. 95, 1931 7) Van Kuren, R.C. and Galambos, T.V.; Beam Column Experiments, Proc. of ASCE, St 2, April, 1964 8) 対称載荷(130°), 等断面の断面積が既知のとき, せん断力と曲げ剛性の関係, 第2回日本構造力学講習会論文集, 1972年1月, 鹿児島, 清水建設株式会社, 1972-1-53。 9) S.P. Prawal et al.; Bending and Buckling Strength of Tapered Structural Members, Welding Research, Vol. 53, Feb. 1975

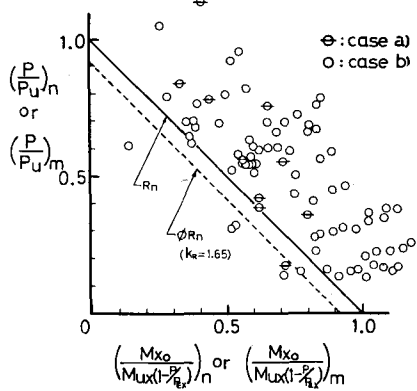


Fig. 1 (等断面はり一柱)

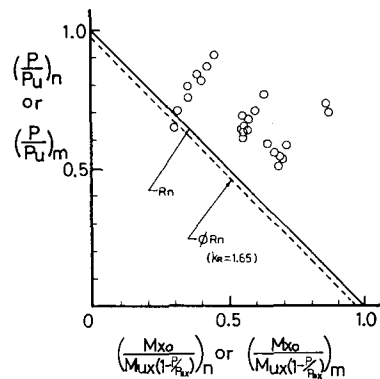


Fig. 2 (変断面はり一柱)